

福井大学工学部 正会員 岩井嘉彦

1. まえがき：飽和粘土の応力ひずみ関係について多數の研究がなされてきたが、その前提は、塑性体力学におけるようく、応力・ひずみテンソル成分を一意的に関係づける式が存在するといつてある。しかし、一様であるはずの三軸圧縮試験供試体の間隙水圧分布が、ひずみ速度の速い場合大差なく、いくつもと、上述の前提では説明できない現象もある。ここでは、單一のたわみひずみ関係式を前提とせず、応力ひずみは種々の制約条件を満たす方が、ある範囲で最小にするようく挙動するものと考へた場合の結果を示す。試験に用いた試料は、標準した陶器用焼成粘土である。 $G_s = 2.67$, $w_L = 52.2\%$, $w_p = 25.4\%$ である。

2. 定式化の準備：定式化の方針は応力変形挙動を次の最適化問題として表すことにとする。制約条件： $\sigma(X) \leq 0$, $h(X) = 0$, 目的関数： $J = f(X) \rightarrow \text{minimum}$ ……(1) ここで、変位ベクトル X は、応力、ひずみ(変位)、間隙水圧を還原、二点を独立して表す。この中の変数は FEM の変位法におけると同じ意味で離散化する。図-1 に示すようく、三軸圧縮試験供試体の対称部分を軸対称長方形要素に分割し、応力、ひずみ、間隙水圧は各要素内で一様とする。次に、弾性・塑性・限界状態を定義する。通常ひずみ速度の非排水せん断応力経路は、図-3 に模式的に示すよう右に凸の形となり、たわみ経路のある量を越すと間隙水圧が急激に増大する。一方、柴田²⁾は通常のひずみ速度におけるダイレイタンシーと応力比 σ/σ_u の関係が図-2 中の線①ではなく②であることを示す。図-2 中の A 点は相当する $(\sigma/\sigma_u)^*$ がひずみ速度とともに増大すること述べている。ここでは図-2 中の実線の応力経路を破線のよう近似し、図-2 中の A 点が図-3 中の A' 点に対応すると仮定する。図-3 中の A' 点までダイレイタンシーが生じない領域を考へ、便宜的に弾性状態と呼ぶ。この操作を実験結果について行ったところ、図-4 に示すよう $(\sigma/\sigma_u)^*$ の数値は正密圧力によらず、ひずみ速度によらず一定のようである。限界状態の考へ方は Cam Clay Model³⁾におけると同一であり、図-3 の A' から限界状態までを弾塑性状態とする。

3. 定式化：制約条件は、応力-体積ひずみ関係として、太田 Model の基本式である、体積ひずみが正歪成成分とダイレイタンシー成分の和であるとする式の修正形を利用す。連続条件式は多次元圧密収縮解析に用いるのに同様である。具体的には赤井・田村の方法³⁾を利用してある。試験状態を表す式は、外力仕事が正、すなは $d\sigma \geq 0$ である。ここで $\sigma = M \cdot \epsilon^{1/2}$, M : 有効応力, ϵ : ひずみである。熱力学的条件として Cam Clay Model のエネルギー式を形を變えて用いる。塑性仕事 $\geq M \sigma d\epsilon - (2)$ ここで M : 限界状態の勾配、 σ_m : 平均有効主応力、塑性せん断ひずみ $d\epsilon^p = d\epsilon - d\epsilon^e$, $d\epsilon = (\frac{2}{3} \epsilon_{ij} \epsilon_{ij})^{1/2}$, ϵ_{ij} : 傷差ひずみ、塑性せん断ひずみ $d\epsilon^p = g/G$ (この式は応力成分とひずみ成分の間

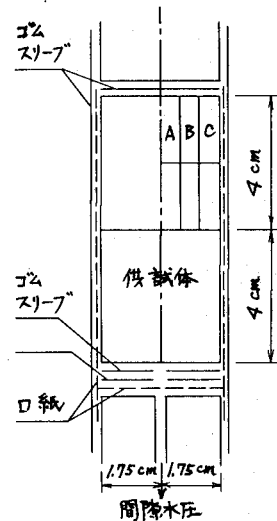


図-1 三軸圧縮試験供試体

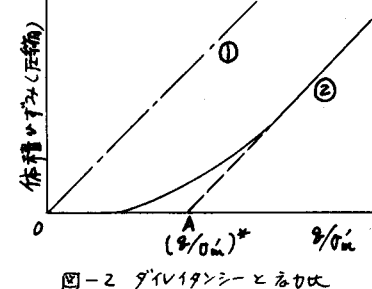


図-2 ダイレイタンシーと応力比

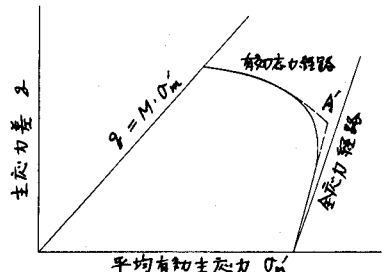


図-3 応力経路のモデル(非排水)

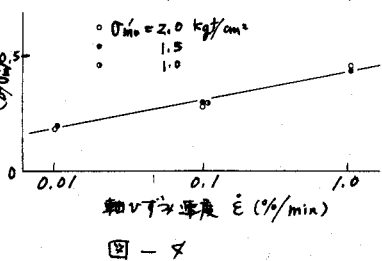


図-4

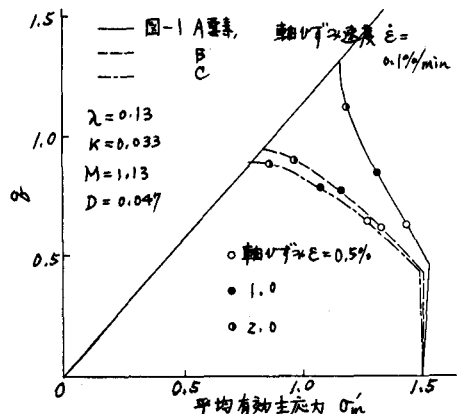


図-5 各要素の応力経路

角を意味しない), G : セル断剛性係数。左方, 前述の彈性状態下で $\sigma_{12}^e = 0$ とする。塑性構成式である Flow-Rule を用いる場合, 降伏間数を通じてある値以上の塑性仕事が発生するが, 本報のモデルでは降伏間数を用いておらず, 式(2)のよりある値以上の塑性仕事が生じるという条件式が必要となる。目的間数は塑性仕事(消散エネルギー)最小とする。

4. あとがき: 定式化土水圧最適化問題をペナルティ間数法, 共役勾配法により数値解析した結果を図5～8に示す。図-6に示すように周辺部ほど側方変位が大きくなるため, 中心部が圧縮し, 周辺部が膨張し, 間隙水圧が低くなる。図-1の口袋配置をみて, 供試体底部より, 周辺部より間隙水圧が側面土水圧より多くなり, 実験値との比較を行なった結果を図-9, 10に示す。数値と実験値の差があるものの, 相互的には一致する結果を得られた。モデル化や物性値の問題が残り, 1. 間隙水圧の測定に関する問題がまだ大きいとするところである。参考文献: 1) 萩原(1980), 第16回土質工学研究発表会, 2) 紫田他(1976), 土工基礎, 24-8, 3) 赤井・田村, 土学会論文報告集, No.269, 4) Roscoe et al., (1963) Geotechnique, 13-3 京都大学・名古屋大学大型砂槽センターを利用した。

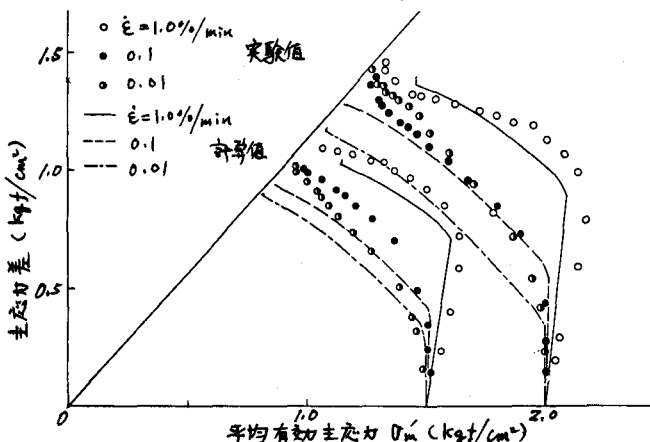


図-10 応力経路

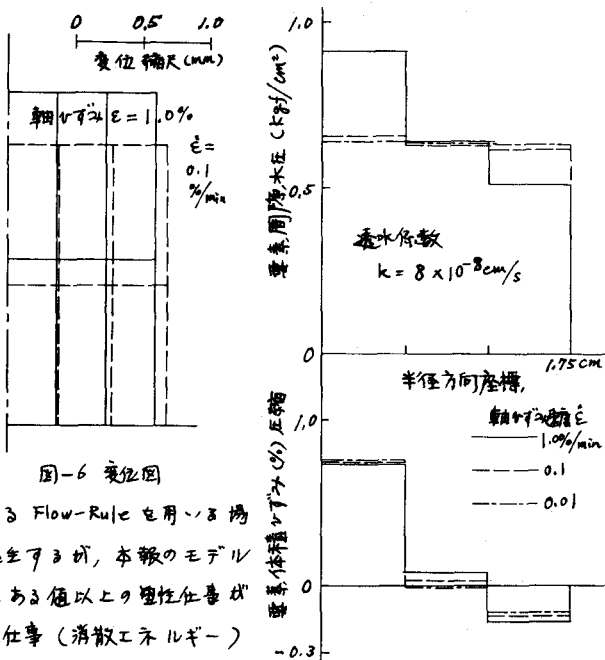


図-6 変位図

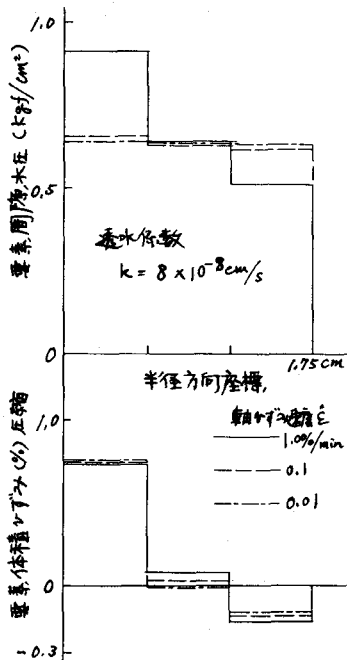


図-7 間隙水圧・体積ひずみ分布

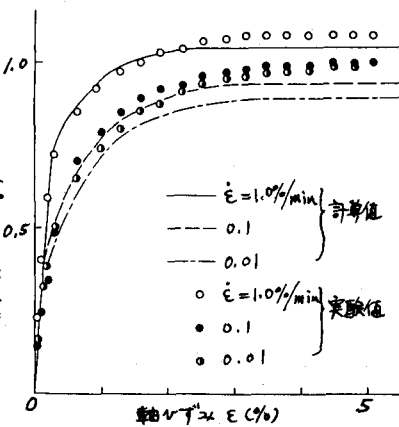


図-8 応力ひずみ関係.

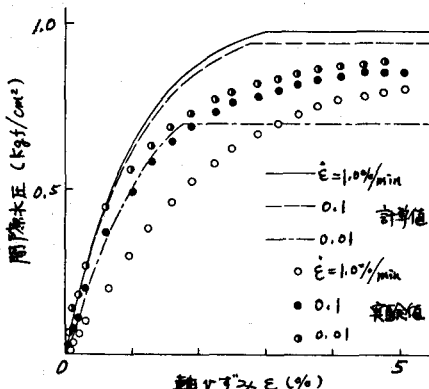


図-9 間隙水圧-ひずみ関係.